伊豆大島の地殻変動* Crustal Deformations of Izu-Oshima Volcano

国土地理院

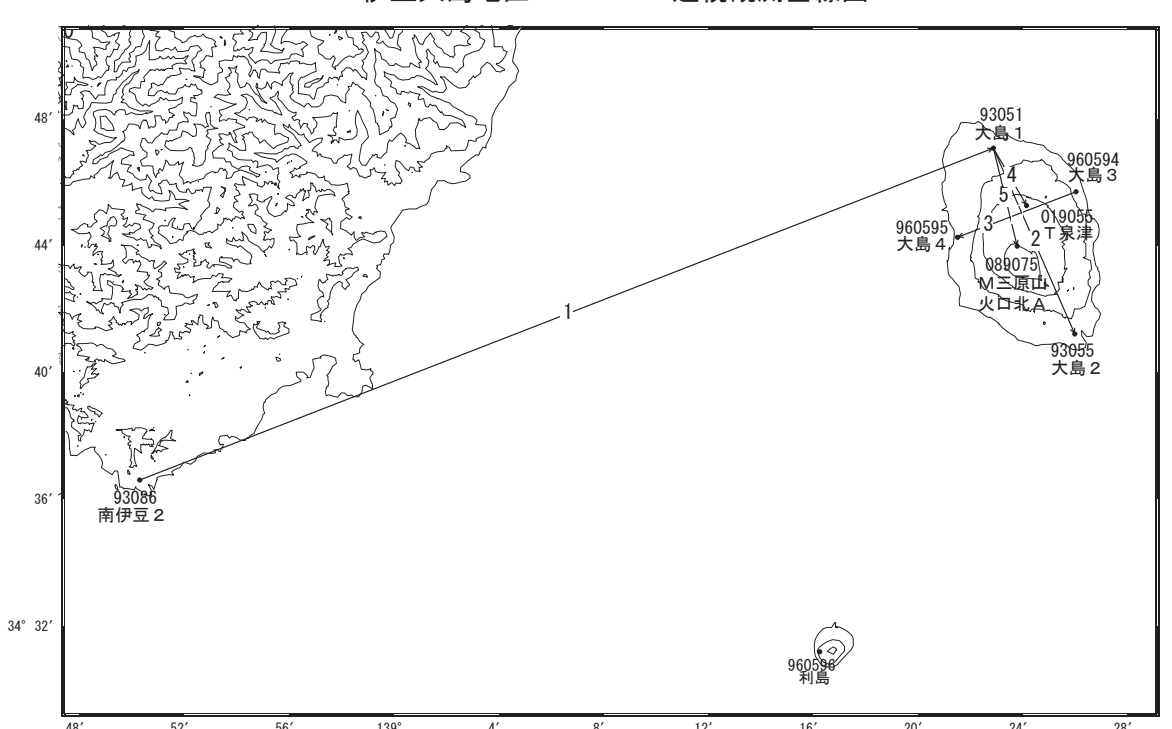
Geospatial Information Authority of Japan

第1図、第2図は、伊豆大島における GNSS 連続観測結果である。第1図上段に基線の配置を、下段に図中に表示されている観測点の保守の履歴を示した。第2図(a)は、それぞれの基線の基線長の変化グラフであり、第2図(b)は比高の変化グラフである。(a)、(b)いずれも左列に中長期の時系列を、右列に最近約1年間の時系列を示している。島内の基線では(2)「大島1」-「大島2」、(4)「大島1」-「T泉津」、(5)「大島1」-「M三原山火口北A」基線では2012年1月初旬頃から、(3)「大島3」-「大島4」基線では3月頃から縮みの傾向が続いていたが、2012年11月以降は伸びの傾向となっていた。2013年4月頃から縮みの傾向が見られる。

第3図、第4図は、伊豆大島でのGNSS観測点における地殻変動ベクトル図である。伊豆半島南部に位置する電子基準点「南伊豆2」を固定局として上段に水平変動ベクトルを、下段に上下変動量を示した。第3図は2012年4月からの1年間の変動を示したものである。この期間の小さな膨張が見られる。第4図は、最近3ヶ月間の変動を示したものである。基線の伸びから縮みに転じた期間を含むため、地殻変動は明瞭ではない。

第5図は、三原山周辺の光波測距観測結果である。2009年7月にそれまでのAPSに代えてGeoMoSによる自動観測を開始したが、器械の設置位置はそれ以前と同じ場所である。第5図上段左図が観測点配置図であり、上段右図と下段が基線長の変化グラフである。2002年9月以降の観測結果を示している。GNSS観測と同様、2012年初め頃からは縮みの傾向であったものが、11月以降は伸び、2013年4月頃からの縮みの傾向となっていることが確認できる。

第6図、第7図は、GEONET および気象庁の火山 GNSS 観測点の観測データに基づき、時間依存のインバージョン手法により、変動源を茂木ソースと仮定して体積の増減を時系列的に推定した結果である。第6図は伊豆大島島内の変動源(茂木ソース)の体積変化時系列の推定結果である。第6図上段は推定に用いた観測点の配置と仮定した変動源の位置図である。下段は推定された体積増減の時系列である。伊豆大島島内の変動源は、2004年以降短期的には増減を繰り返しながら、長期的には膨張傾向にあり、2012年初め頃までに約1千7百万立米の増加が推定されていた。2012年初めからの収縮では約7百万立米の収縮が推定されていたが、2012年11月から2013年1月下旬までに、それ以前の収縮量とほぼ同じ程度の量の膨張が推定された。第7図は推定された膨張源の変動による各観測点の地殻変動の計算値と、観測値を比較した時系列グラフである。膨張と収縮が繰り返されているが、モデルは比較的よく観測値を説明していると考えられる。ただし、時間のスムージング効果により、2013年4月頃からの縮みは追随できていない。

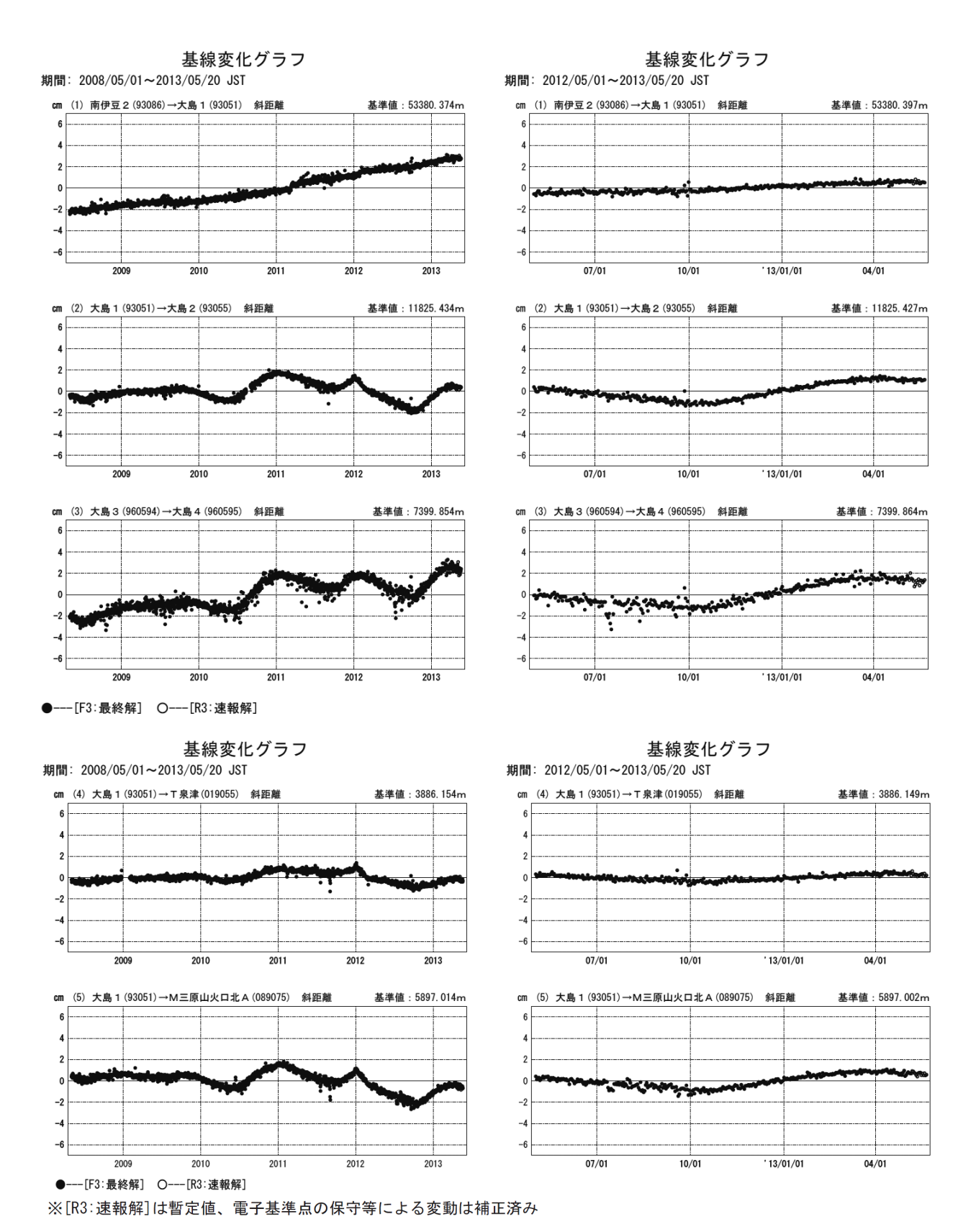


伊豆大島地区 GNSS連続観測基線図

点番号	点名	日付	保守内容
93086	南伊豆2	20030515	アンテナ高調整
		20080120	レドーム開閉・受信機交換
		20121203	アンテナ・受信機交換
93051	大島1	20070324	受信機交換
		20090210	レドーム開閉・受信機交換
		20121009	アンテナ・受信機交換
93055	大島2	20121010	アンテナ・受信機交換
960594	大島3	20100203	レドーム開閉・受信機交換
		20121010	アンテナ・受信機交換
960595	大島4	20100204	レドーム開閉・受信機交換
		20121011	アンテナ交換
019055	T泉津	20060711	周辺伐採
		20090129	受信機交換
089075	M三原山火口北A	20090303	受信機交換

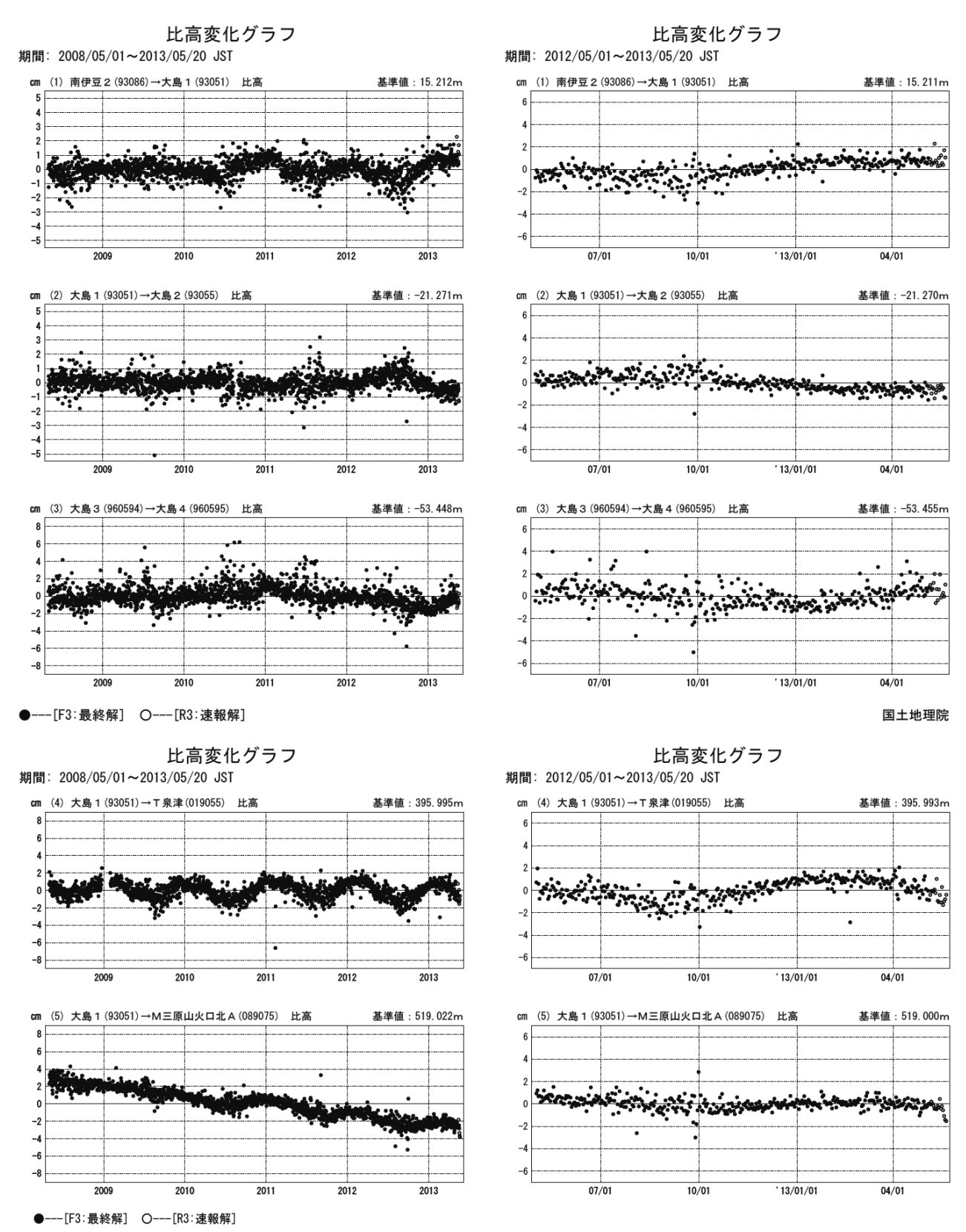
第1図 伊豆大島周辺の GNSS 連続観測基線図 (上段:基線図、下段:保守履歴)

Fig.1 Site location map of the GNSS continuous observation network around Izu-Oshima Volcano; (upper) Site location map, (lower) History of site maintenance.



第2図(a) 伊豆大島の GNSS 連続観測結果(基線長:2008年5月~2013年5月、右列2012年5月~2013年5月)

Fig.2(a) Results of continuous GNSS observation around Izu-Oshima Volcano, Baseline length; (left) from May 2008 to May 2013, (right) from May 2012 to May 2013.



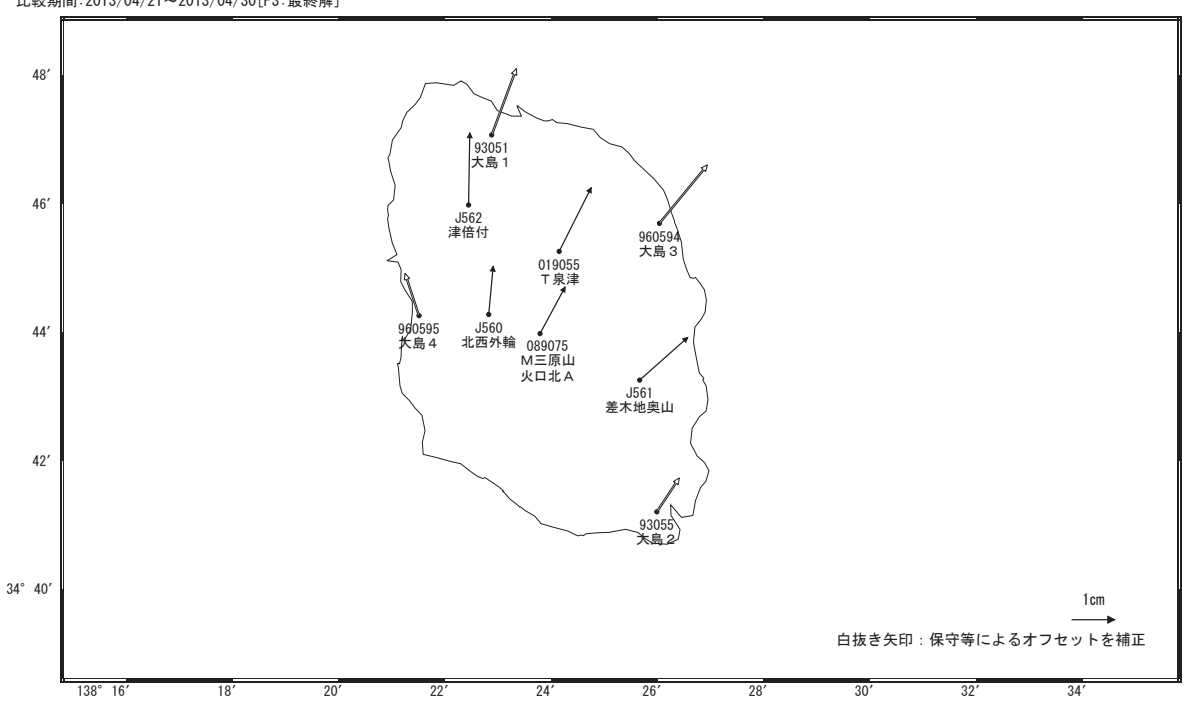
※[R3:速報解]は暫定値、電子基準点の保守等による変動は補正済み

第2図(b) 伊豆大島の GNSS 連続観測結果 (比高: 2008年5月~2013年5月、右列 2012年5月~2013年5月)

Fig.2(b) Results of continuous GNSS observation around Izu-Oshima Volcano, Relative Height; (left) from May 2008 to May 2013, (right) from May 2012 to May 2013.

伊豆大島の地殻変動(水平:1年)

基準期間:2012/04/21~2012/04/30[F3:最終解] 比較期間:2013/04/21~2013/04/30[F3:最終解]



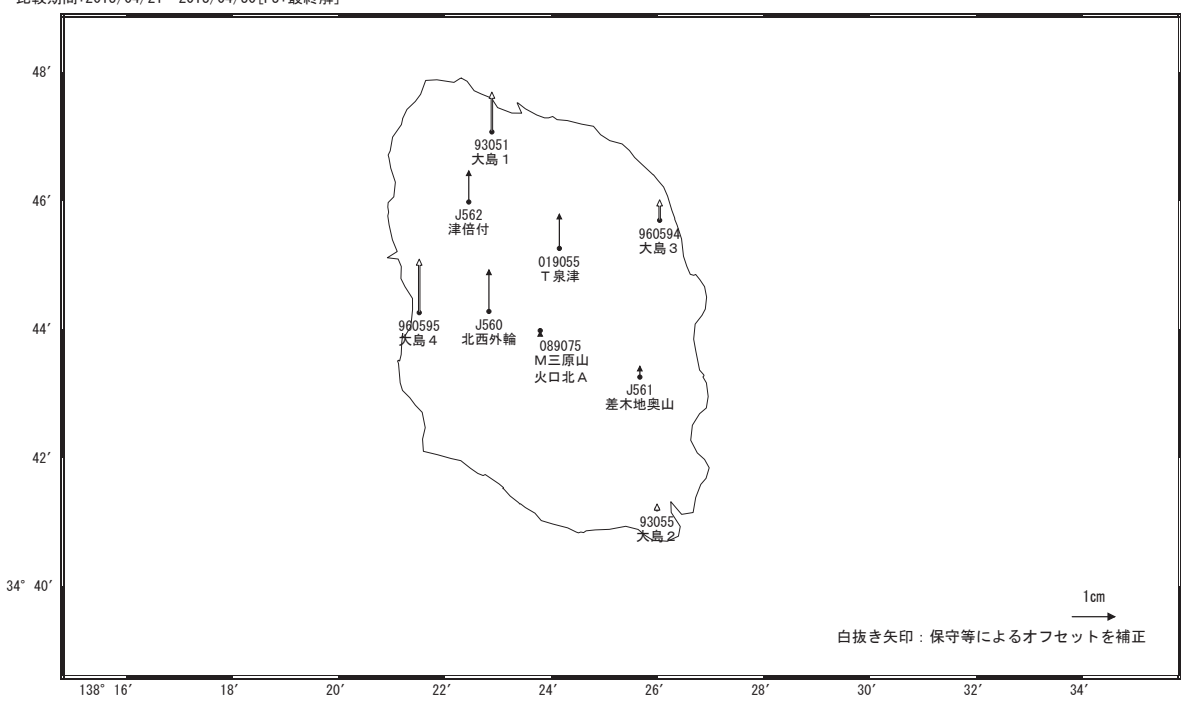
☆ 固定局:南伊豆2(93086)

☆ 固定局:南伊豆 2 (93086)

伊豆大島の地殻変動(上下: 1年)

国土地理院

基準期間:2012/04/21~2012/04/30[F3:最終解] 比較期間:2013/04/21~2013/04/30[F3:最終解]

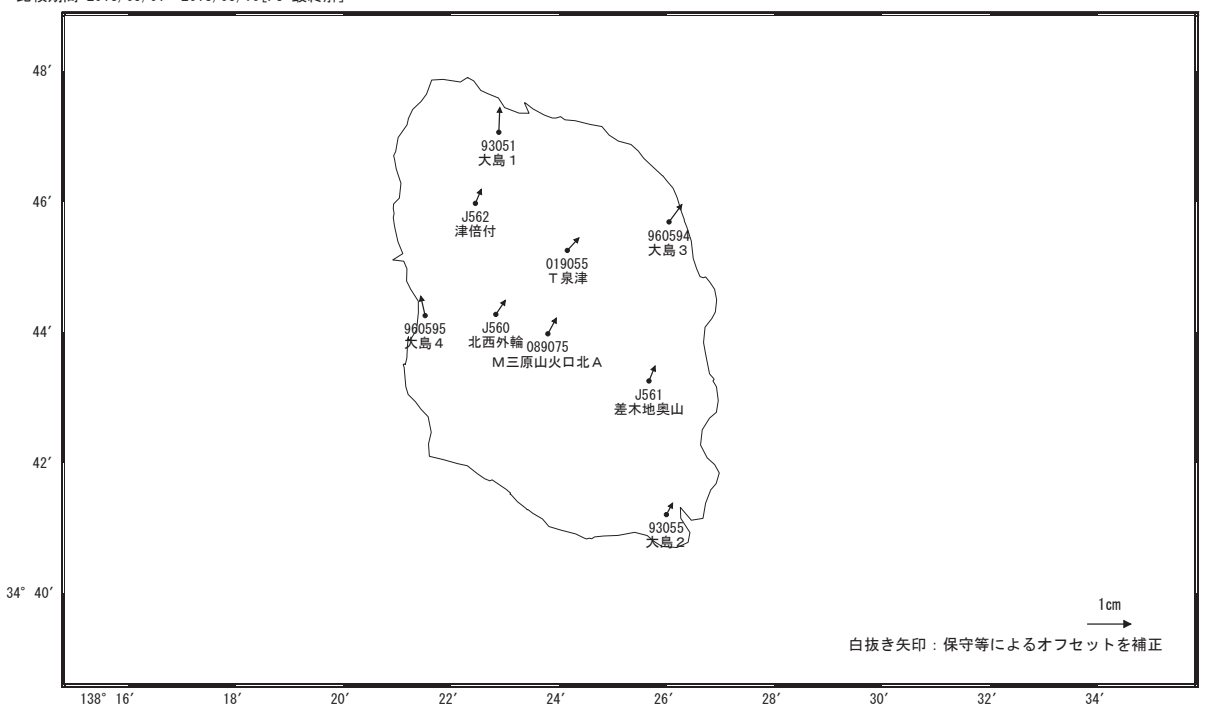


第3図 伊豆大島における GNSS 連続観測点の変動ベクトル図(2012年4月~2013年4月、上段:水平変動、下段:上下変動)

Fig.3 Horizontal and vertical displacement of GNSS stations around Izu-Oshima Volcano from April 2012 to April 2013 (upper: Horizontal, lower: Vertical).

伊豆大島の地殻変動(水平:3ヶ月)

基準期間:2013/02/01~2013/02/10[F3: 最終解] 比較期間:2013/05/01~2013/05/10[F3: 最終解]

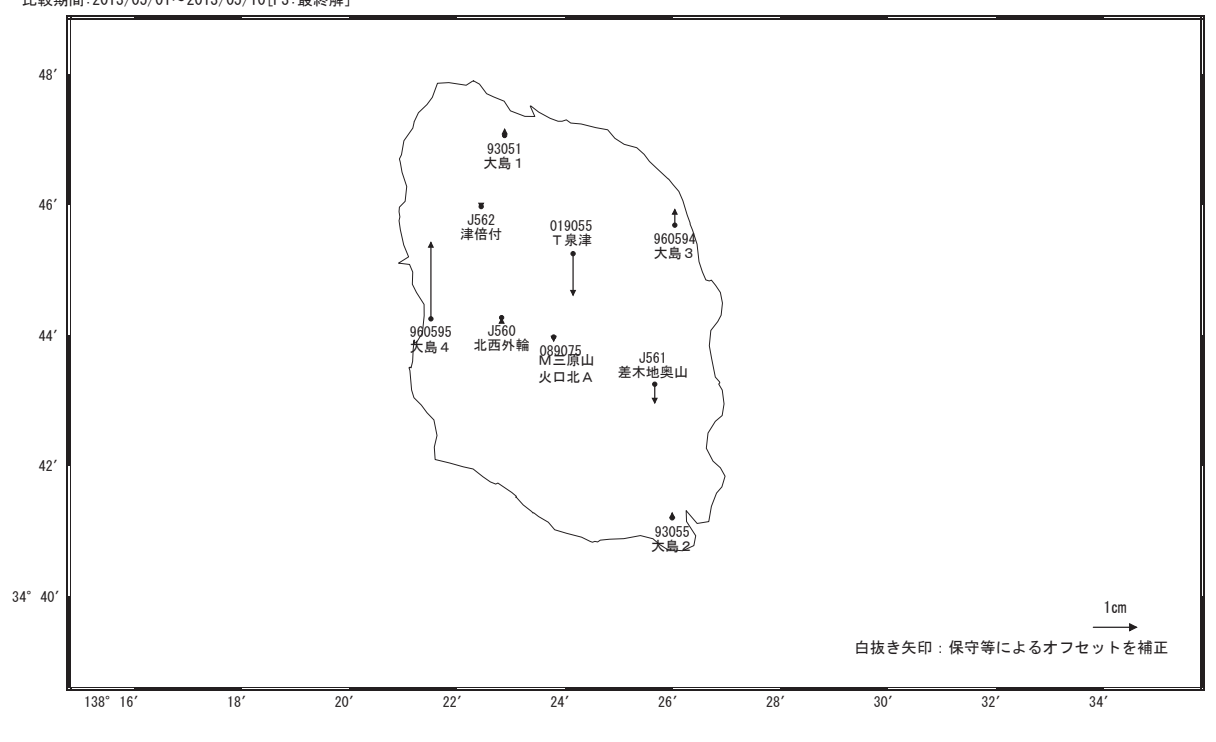


☆ 固定局:南伊豆 2 (93086)

国土地理院

基準期間: 2013/02/01~2013/02/10[F3:最終解]

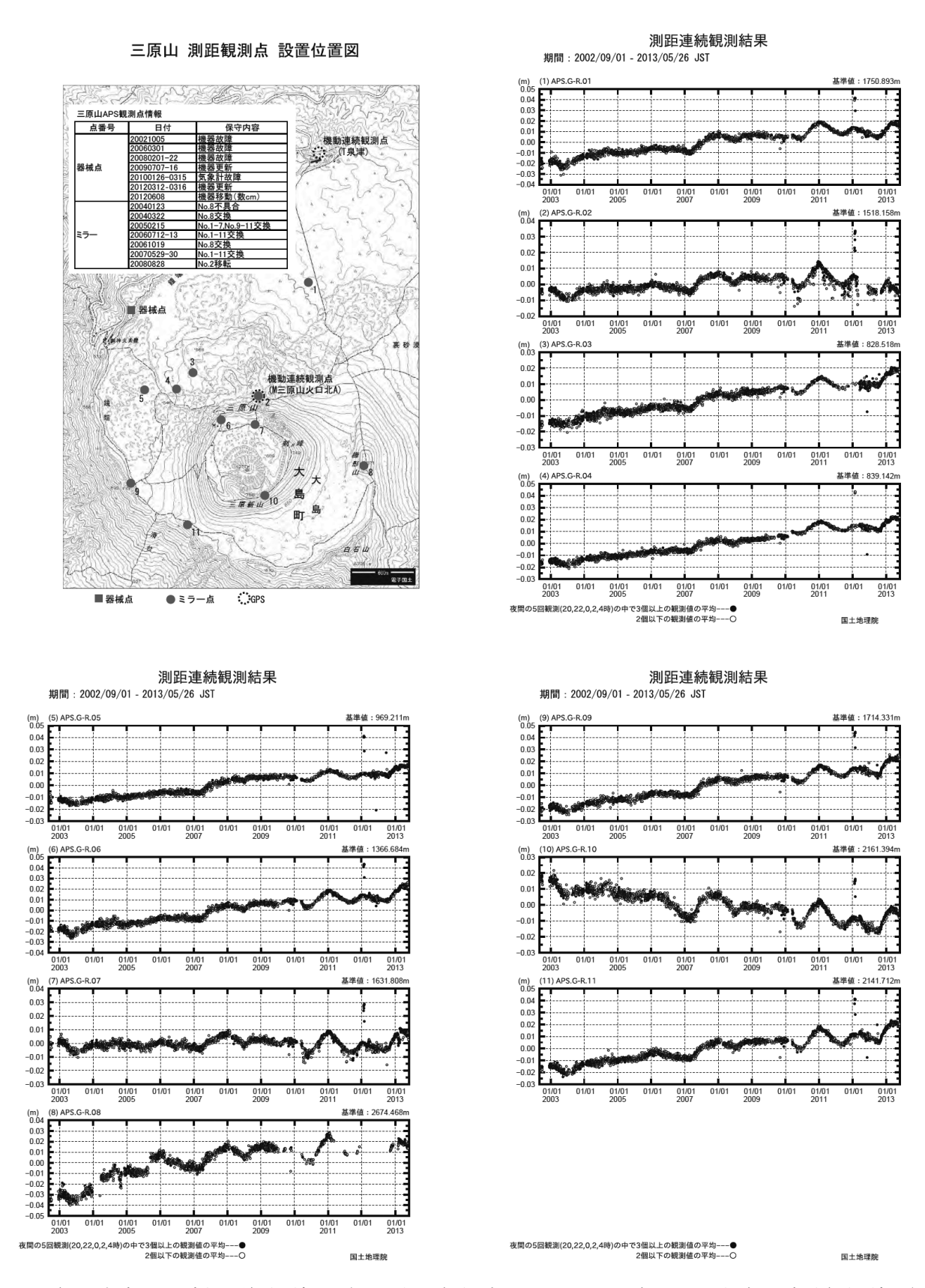
伊豆大島の地殻変動(上下: 3ヶ月)



☆ 固定局:南伊豆2(93086) 国土地理

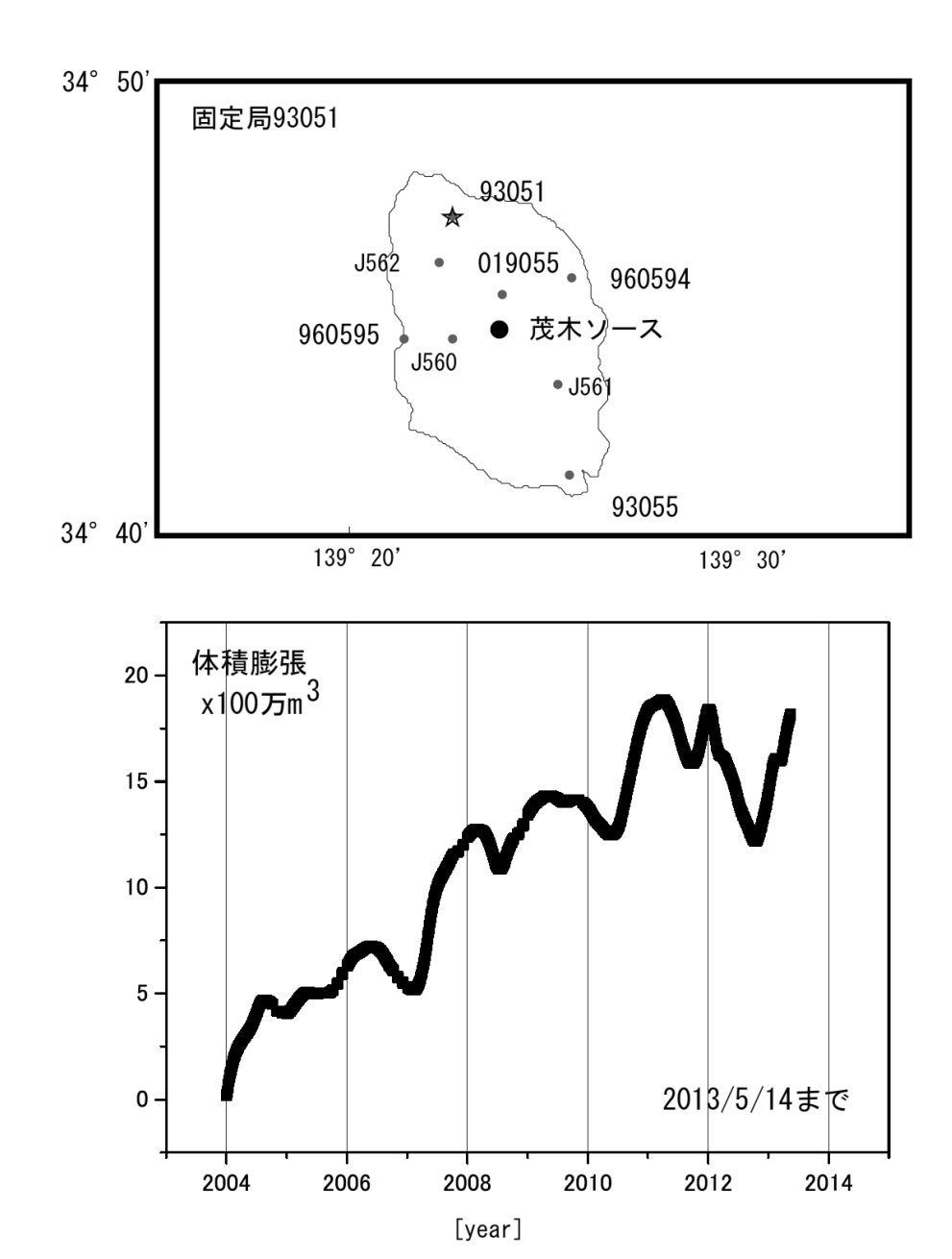
第4回 伊豆大島における GNSS 連続観測点の変動ベクトル図(2013年2月~2013年5月、上段:水平変動、下段:上下変動)

Fig.4 Horizontal and vertical displacement of GNSS stations around Izu-Oshima Volcano from February 2013 to May 2013 (upper: Horizontal, lower: Vertical).



第5図 伊豆大島の光波測距観測結果(上段左:観測点配置図、上段右・下段左右:連続観測結果) Fig.5 Results of optical distance measurement observation around Izu-Oshima Volcano. (upper left) Location map of observation sites, (upper right and lower) Time series of optical distance measurement results from September 2002 to May 2013.

伊豆大島の茂木ソースの位置と体積変化量 時間依存のインバージョン解析

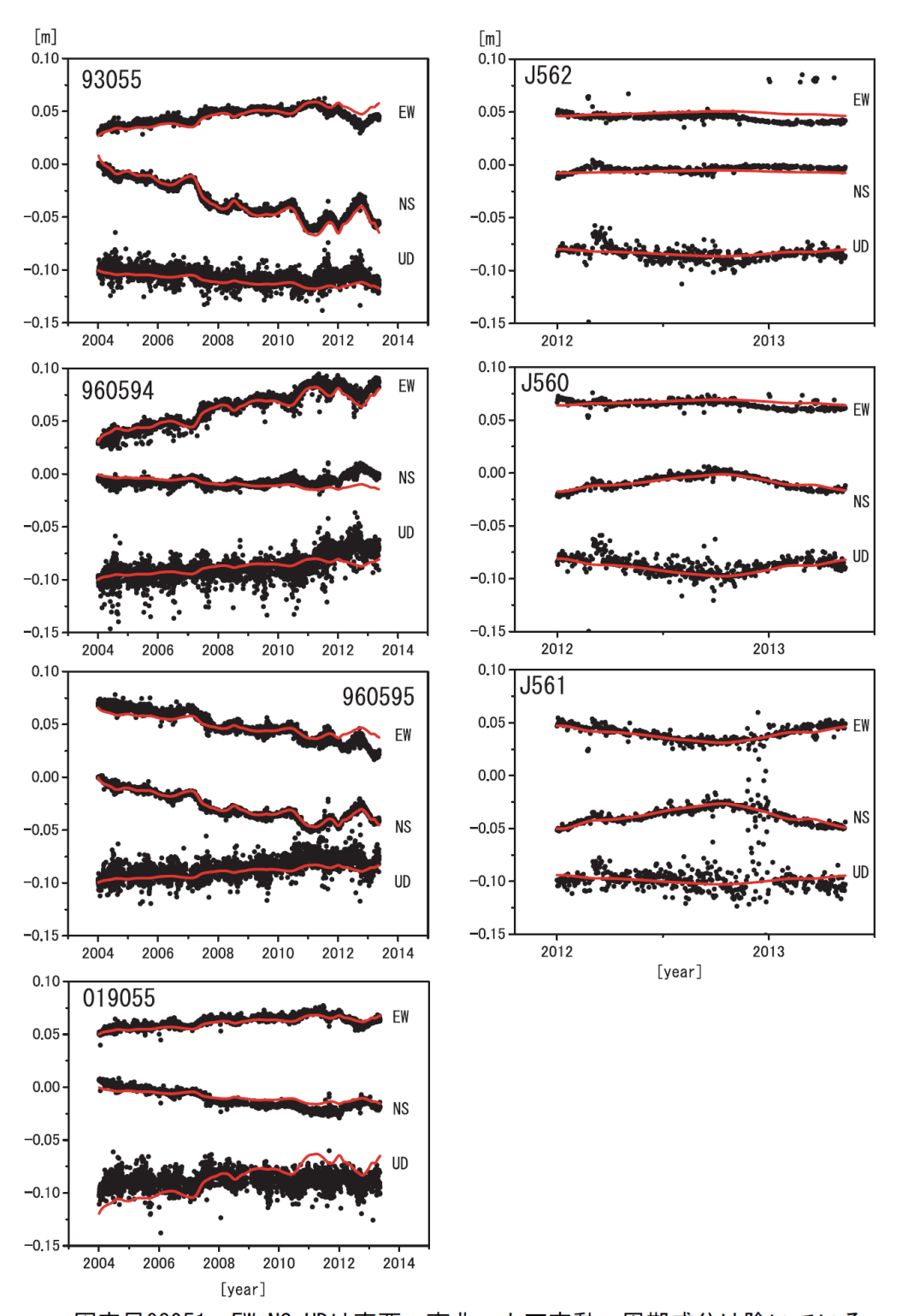


茂木ソース:緯度 34.74°、経度 139.4°,深さ 6km ※電子基準点の保守等による変動は補正済み

第6図 時間依存インバージョンの手法による伊豆大島の変動源の体積変化推定(上段:推定に用いた観測点(黒点)、固定点(星印)の配置と茂木ソースの位置(黒丸)、下段:推定された茂木ソース体積の時間変化)

Fig.6 Estimation of the volume change of Mogi-source by the time dependent inversion method, (upper) distribution of GNSS observation sites (dots) and fixed site (star) used for the inversion and Mogi-source (black circle), (lower) Time series of estimated volume of Mogi-source.

伊豆大島観測点の座標時系列 (黒丸) と計算値 (赤線) 時間依存のインバージョン解析



固定局93051. EW, NS, UDは東西、南北、上下変動. 周期成分は除いている. ※電子基準点の保守等による変動は補正済み 伊豆大島

第7図 推定された茂木ソースによる地殻変動計算値(赤実線)と観測値(黒点)の比較 Fig.7 Comparison of calculated deformation from the estimated Mogi-source (red lines) and observed deformation (black dots).